



ГОСУДАРСТВЕННЫЙ СТАНДАРТ  
СОЮЗА ССР

---

## СТАЛЬ

МЕТАЛЛОГРАФИЧЕСКИЙ МЕТОД ОЦЕНКИ  
МИКРОСТРУКТУРЫ ЛИСТОВ И ЛЕНТЫ

ГОСТ 5640—68

Издание официальное

ГОСУДАРСТВЕННЫЙ КОМИТЕТ ССРП ПО СТАНДАРТАМ  
Москва

## СТАЛЬ

Металлографический метод оценки  
микроструктуры листов и ленты

Steel. Metallographic method for determination of  
microstructure of sheets and bands

## ГОСТ

5640—68

Взамен

ГОСТ 5640—59

Утвержден Постановлением Комитета стандартов мер и измерительных приборов при Совете Министров СССР от 31 октября 1968 г. № 63. Срок действия установлен

с 01.01.70

до 01.01.91

**Несоблюдение стандарта преследуется по закону**

Настоящий стандарт распространяется на листы и ленты из малоуглеродистой и углеродистой стали и устанавливает металлографический метод оценки структурно-свободного цементита, перлита, полосчатости и видманштеттовой структуры.

Применение метода предусматривается в стандартах и технических условиях на металлопродукцию, устанавливающих технические требования на нее.

### 1. ОТБОР ОБРАЗЦОВ И ИЗГОТОВЛЕНИЕ МИКРОШЛИФОВ

1.1. Оценка микроструктуры производится на микрошлифах размером  $30 \times 40$  мм. Образцы для микрошлифов должны вырезаться холодным механическим способом так, чтобы их плоскость совпадала с направлением волокон (образцы должны быть продольными). Место вырезки и количество образцов от партии должны быть оговорены соответствующими стандартами и техническими условиями.

1.2. Способ изготовления микрошлифов не регламентируется. Для удаления наклепанного от механической обработки слоя применяют повторную полировку.

## 2. МЕТОД ОПРЕДЕЛЕНИЯ МИКРОСТРУКТУРЫ

2.1. Травление образцов производят в 4%-ном растворе азотной кислоты в спирте. При выявлении структурно-свободного цементита образцы необходимо травить столько времени, чтобы четко выявились только частицы цементита, а границы зерен могут быть выявлены слабо.

2.2. Для оценки структурно-свободного цементита и перлита в малоуглеродистых сталях применяют микроскопы с увеличением 360—400 $\times$ , для оценки полосчатости и видманштеттовой структуры — микроскопы с увеличением около 100 $\times$ .

2.3. Стандартный диаметр фотоэталона — 80 мм.

2.4. При пользовании шкалами стандарта необходимо указывать номер балла и буквенное обозначение ряда, например, 1A, 3B и т. д.

### Шкала 1. Структурно-свободный цементит

2.5. Шкала для оценки структурно-свободного цементита в отожженной малоуглеродистой стали с содержанием углерода до 0,15% построена в зависимости от количества, формы и расположения цементитных частиц и состоит из трех рядов и шести баллов.

**Ряд А** построен по принципу образования цементитной сетки по границам зерен. Для количественной характеристики используется доля периметра отдельных зерен феррита, охваченная сеткой цементита.

**Ряд Б** построен по возрастанию размеров частиц структурно-свободного цементита, образующих однослойные, двухслойные и многослойные цепочки различной протяженности.

**Ряд В** построен по принципу перехода равномерно распределенной точечной сыпи в неравномерную полосчатую структуру. В табл. 1 (приложение 1) приведены описания микроструктур по баллам шкалы 1 (приложение 2).

### Шкала 2. Перлит в малоуглеродистой деформированной стали

2.6. Шкала для оценки количества и характера расположения перлита в малоуглеродистой деформированной стали с содержанием углерода 0,10—0,30% построена в зависимости от строения перлита (зернистый или сорбитаобразный, его количества и характера распределения и состоит из двух рядов и шести баллов.

**Ряд А** предназначен для оценки зернистого перлита в холоднокатаной стали с содержанием углерода 0,1—0,2%. При увели-

чении номера балла увеличивается размер частиц цементита и наблюдается тенденция к образованию полос.

**Ряд Б** предназначен для оценки сорбтообразного перлита в горячекатаной стали с содержанием углерода 0,1—0,2%. При увеличении номера балла зернистый перлит переходит в пластинчатый с образованием дифференцированных полос.

**Ряд В** предназначен для оценки перлита в горячекатаной стали с содержанием углерода 0,21—0,30%. При увеличении номера балла микроструктура с небольшими однородными по величине и равномерно распределенными участками перлита становится неоднородной полосчатой структурой, при этом оценку микроструктуры необходимо производить по ликвационной зоне, состоящей из скоплений перлита в виде широких сплошных полос.

В табл. 2 (приложение 1) приведены описания микроструктур по баллам шкалы 2 (приложение 2).

### Шкала 3. Полосчатость феррито-перлитной структуры

2.7. Шкала для оценки полосчатости в структуре перлитных сталей построена по принципу возрастания количества ферритных полос с учетом степени их сплошности и степени равносности зерен в полосах и состоит из трех рядов и шести баллов.

**Ряд А** предназначен для оценки полосчатости в стали с содержанием углерода до 0,15%.

**Ряд Б** предназначен для оценки полосчатости в сталях с содержанием углерода 0,16—0,30%.

**Ряд В** предназначен для оценки полосчатости в сталях с содержанием углерода 0,31—0,50%.

В табл. 3 (приложение 1) приведены описания микроструктур по баллам шкалы 3 (приложение 2).

### Шкала 4. Видманштеттова структура

2.8. Шкала для оценки развития видманштеттовой структуры в перлитных сталях после перегрева построена по принципу возрастания количества и размеров игольчатых выделений феррита и величины зерна, определяемой по ферритной сетке, соответствующей размеру действительного аустенитного зерна, и состоит из двух рядов и шести баллов.

**Ряд А** предназначен для оценки микроструктуры в сталях с содержанием углерода 0,15—0,30%.

**Ряд Б** предназначен для оценки микроструктуры в сталях с содержанием углерода 0,31—0,50%.

В табл. 4 (приложение 1) приведены описания микроструктур по баллам шкалы 4 (приложение 2).

2.9. Оценка микроструктуры производится путем сопоставления микроструктуры с эталонами соответствующих шкал. При этом оценка структурно-свободного цементита, перлита, полосчатости и видманштеттовой структуры производится по наибольшему баллу, встречающемуся не менее чем в трех участках шлифа. Поверхностный слой металла глубиной примерно 10% от толщины листа с каждой стороны не учитывается.

Таблица 1

## Шкала 1. Структурно-свободный цементит

Номер балла	Описание микроструктуры		
	Ряд А	Ряд Б	Ряд В
0	Равномерно распределенная точечная или мелкоглобулярная сыпь из цементитных частиц размером до 1—2 мм	Точечная или мелкоглобулярная сыпь из цементитных частиц, имеющих тенденцию к образованию однослойных цепочек	Точечная или мелкоглобулярная сыпь, равномерно распределенная по полю шлифа и имеющая некоторую ориентировку в направлении деформации
1	Неравноосные включения цементита с размерами до 5 мм, расположенные равномерно в объеме зерен и их стыках	Частицы цементита размерами 1—2 мм, образующие однослойные цепочки	Мелкоглобулярная сыпь с размерами частиц 1—2 мм, ориентированная в направлении деформации
2	Относительно равномерно распределенные частицы цементита размерами более 5 мм, имеющие склонность к залеганию в виде сетки по границам зерен и охватывающие не более $\frac{1}{6}$ периметра зерен феррита	Однослойные и двухслойные цепочки из частиц цементита размерами до 3 мм	Небольшие скопления частиц цементита размерами 1—2 мм, ориентированные в направлении деформации
3	Включения цементита, залегающие в виде сетки по границам зерен и охватывающие до $\frac{1}{3}$ периметра зерна феррита	Однослойные и двухслойные цепочки из частиц размерами до 5 мм	Глобулярные частицы размерами 2—3 мм, расположенные в виде скоплений и разорванных полос, вытянутых в направлении деформации
4	Включения цементита, залегающие в виде сетки по границам зерен и охватывающие до $\frac{2}{3}$ периметра зерна феррита	Двухслойные и трехслойные цепочки, проходящие через все поле зрения и состоящие из частиц цементита размерами более 5 мм	Структура соответствует баллу 4 ряда Б
5	Включения цементита, образующие сплошную или почти сплошную сетку по границам зерен феррита	Широкие многослойные цепочки, проходящие через все поле зрения и состоящие из крупных (более 5 мм) частиц	Структура соответствует баллу 5 ряда Б

Таблица 2

## Шкала 2. Перлит в малоуглеродистой деформированной стали

Номер балла	Описание микроструктуры		
	Ряд А	Ряд Б	Ряд В
0	Равномерно или относительно равномерно распределенный зернистый перлит с размерами частиц от мелкоглобулярного до 1—2 мм	Равномерно распределенные в поле зрения участки зерна перлита	Равномерно распределенные в поле зрения небольшие участки тонкопластинчатого перлита
1	Небольшая строчечность зернистого перлита в направлении деформации	Небольшое количество участков сорбитаобразного перлита, слабо ориентированного в направлении деформации	Относительно равномерно распределенные более крупные участки перлита, слабо ориентированные в направлении деформации
2	Неравномерное распределение зернистого перлита, расположенного в виде скоплений, ориентированных в направлении деформации	Более крупные участки сорбитаобразного перлита, ориентированные в направлении деформации	Неоднородные по величине участки перлита, имеющие строчечное распределение
3	Более крупные скопления зернистого перлита, ориентированные в направлении деформации	Более крупные участки сорбитаобразного перлита, имеющие строчечное распределение	Скопления перлита в виде крупных участков, имеющих строчечное распределение
4	Одна сплошная и несколько разорванных полос зернистого перлита	Сорбитаобразный, местами пластинчатый перлит, имеющий строчечное распределение	Одна или несколько разорванных полос перлита, проходящих через все поле зрения
5	Ярко выраженное полосчатое распределение глобулярного перлита	Крупные участки сорбитаобразного и грубопластинчатого перлита, имеющего ярко выраженное строчечное распределение (ширина строчек не менее $1/5$ диаметра поля зрения)	Широкие сплошные полосы перлита более грубого строения, проходящие через все поле зрения

Таблица 3

Шкала 3. Полосчатость феррито-перлитной структуры

Номер балла	Описание микроструктуры		
	Ряд А	Ряд Б	Ряд В
0	Равноосные зерна феррита и небольшое количество перлита с полным отсутствием полосчатости	Равномерная феррито-перлитная структура с полным отсутствием полосчатости	Равномерная перлito-ферритная структура с полным отсутствием полосчатости
1	Общая ориентировка структуры в направлении деформации без четко выраженных полос	Общая ориентировка структуры в направлении деформации без четко выраженных полос	Ориентировка скоплений феррита в направлении деформации
2	Одна-две сплошные полосы феррита на фоне равноосных зерен	Одна-две сплошные и несколько разорванных полос из равноосных зерен феррита	Одна-две сплошные и несколько разорванных полос из равноосных зерен феррита и перлита
3	Несколько полос феррита, проходящих через все поле зрения, на фоне равноосных зерен	Чередование ферритных и перлитных полос, состоящих из равноосных зерен	Чередование ферритных и перлитных полос, состоящих из равноосных зерен
4	Чередование полос из мелких равноосных и более крупных деформированных зерен феррита	Равномерное чередование ферритных и перлитных полос, состоящих из равноосных и некоторого количества деформированных зерен	Равномерное чередование ферритных и перлитных полос, состоящих из равноосных и некоторого количества деформированных зерен
5	Чередование полос из мелких равноосных и большого количества более крупных деформированных зерен	Неравномерное чередование ферритных и перлитных полос, состоящих преимущественно из деформированных зерен	Неравномерное чередование ферритных и перлитных полос, состоящих преимущественно из деформированных зерен

Таблица 4

## Видманштеттова структура

Номер балла	Описание микроструктуры	
	Ряд А	Ряд Б
0	Равномерная феррито-перлитная структура с полным отсутствием признаков видманштетта	Равномерная перлитно-ферритная структура с полным отсутствием признаков видманштетта
1	Наличие в структуре ферритных зерен, имеющих неправильную оско́льчатую форму	Наличие в структуре зерен феррита оско́льчатой формы и небольшого количества отростков от сетки феррита по границам зерен
2	Наличие в структуре отдельных участков, имеющих игольчатое строение	Наличие в структуре игл, отходящих от сетки феррита по границам зерен
3	Видманштеттова структура с тонкими иглами, отходящими от ферритной сетки и расположеннымными внутри зерен	Видманштеттова структура со значительным количеством тонких игл внутри зерен и отходящих от сетки по границам зерен
4	Ярко выраженная видманштеттова структура	Ярко выраженная видманштеттова структура с большим количеством длинных игл, отходящих от сетки феррита по границам зерен
5	Ярко выраженная грубая видманштеттова структура с массивными иглами и ферритной сеткой по границам зерен	Ярко выраженная грубая видманштеттова структура с массивными иглами и толстой ферритной сеткой по границам зерен

Редактор *Н. В. Бобкова*Технический редактор *И. Н. Дубина*Корректор *А. С. Черноусова*

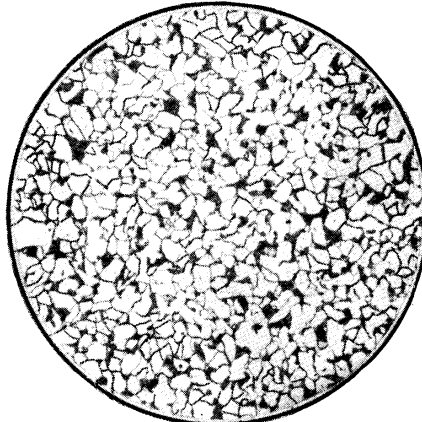
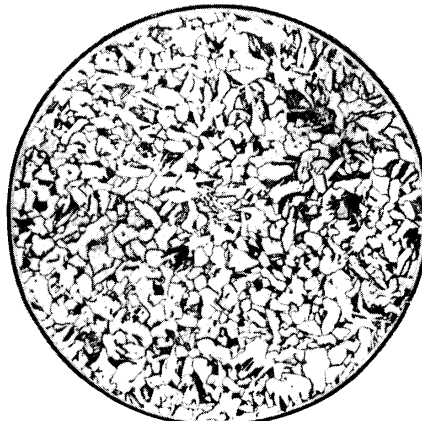
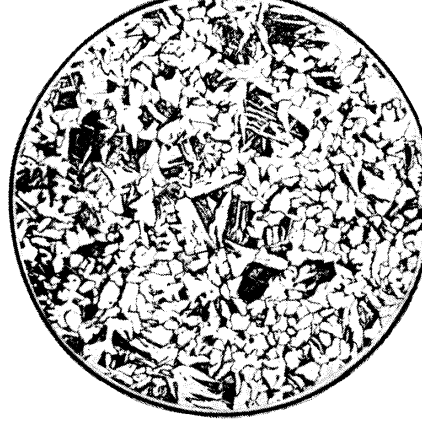
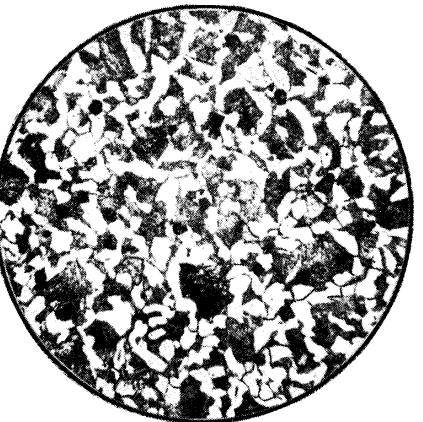
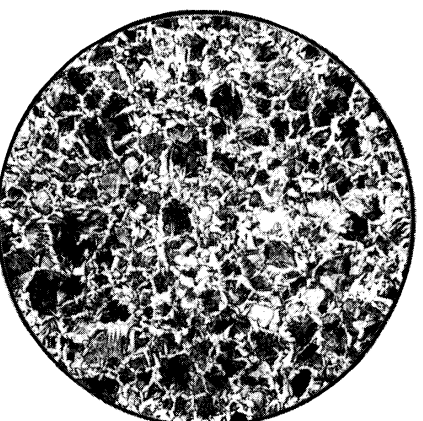
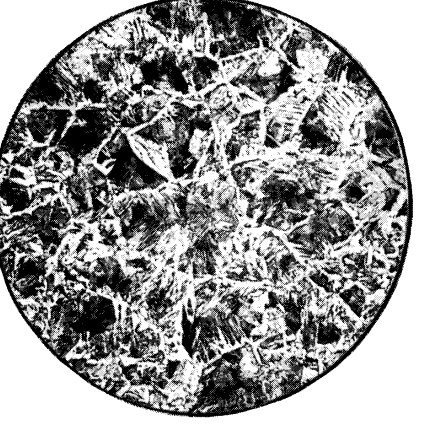
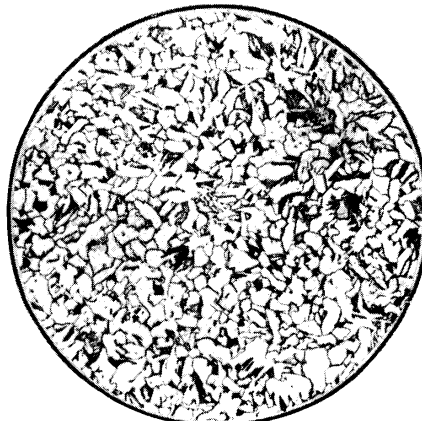
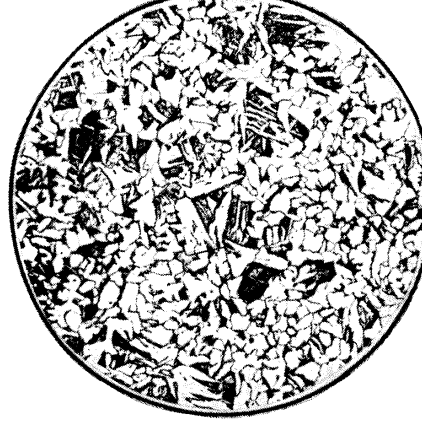
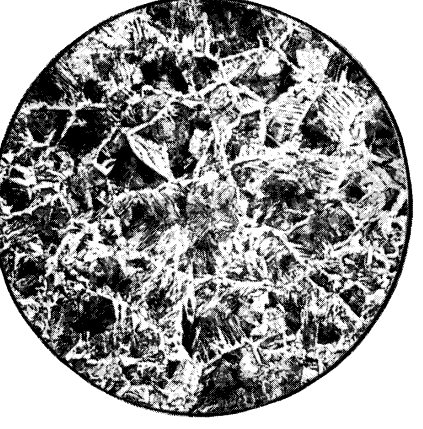
Сдано в наб. 16.05.88 Подп. в печ. 11.10.88 0,5 усл. п. л. + 4 вкл. 2,0 усл. п. л. 2,63 усл. кр.-отт. 0,46 уч.-изд. л. + 4 вкл. 1,94 уч.-изд. л. Тираж 8000 Цена 20 коп.

Ордена «Знак Почета» Издательство стандартов, 123840, Москва, ГСП,

Новопресненский пер., 3.

Калужская типография стандартов, ул. Московская, 256. Зак. 1707

ШКАЛА 4. ВИДМАНШТЕ

Балл 0	Балл 1	Балл 2
		
		
		
Балл 0	Балл 1	Балл 2

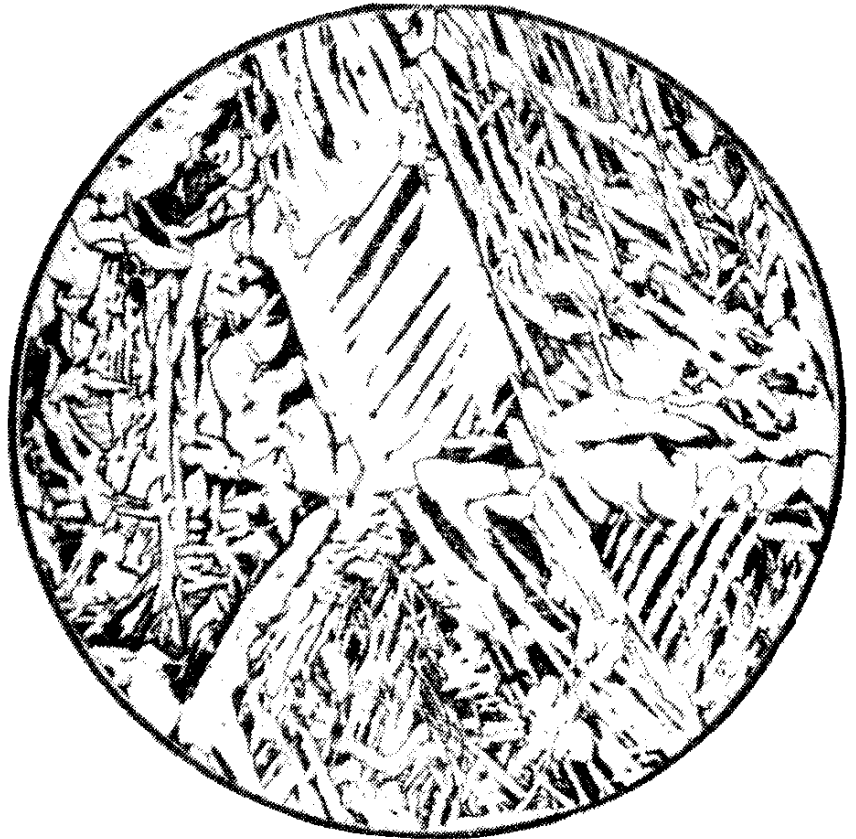
Балл 3



Балл 4

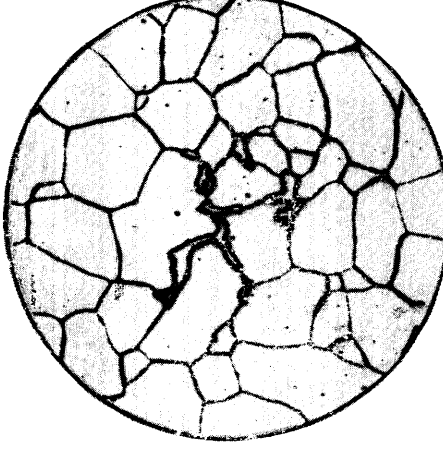
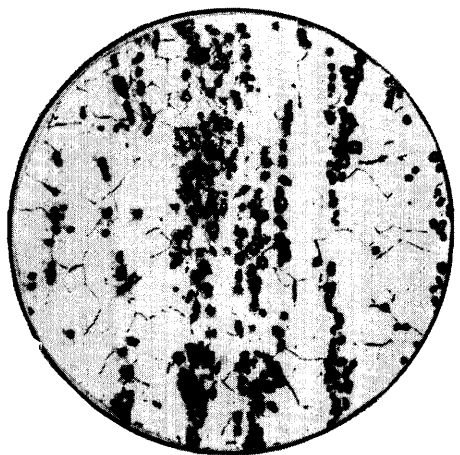


Балл 5

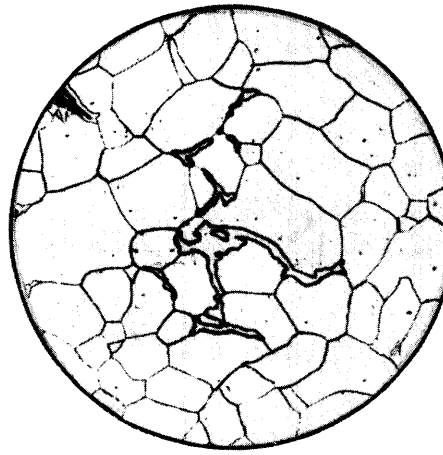
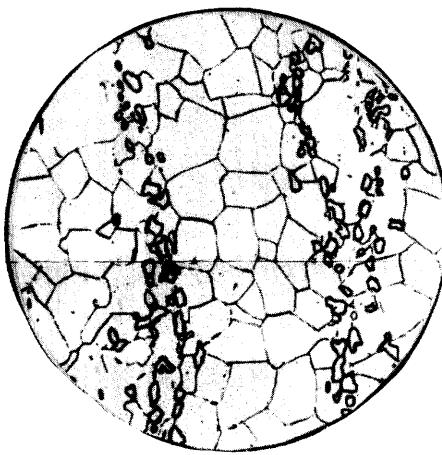


Ряд	Балл 0	Балл 1	Балл 2
A			
B			
C			

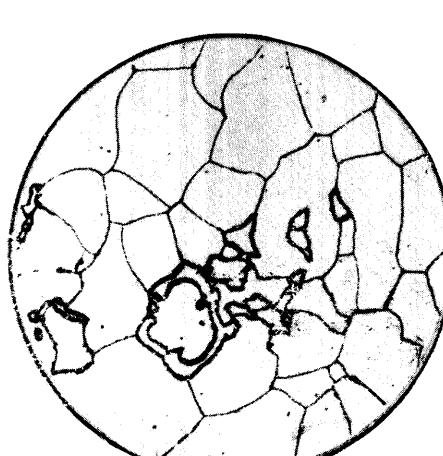
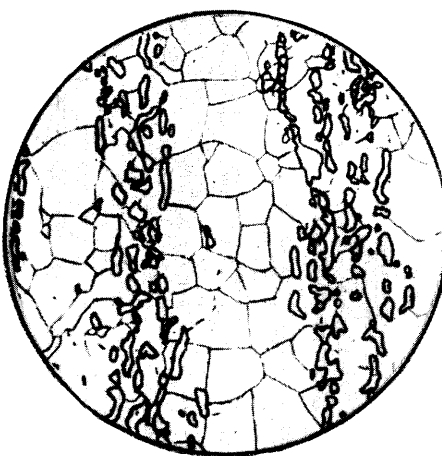
Балл 3

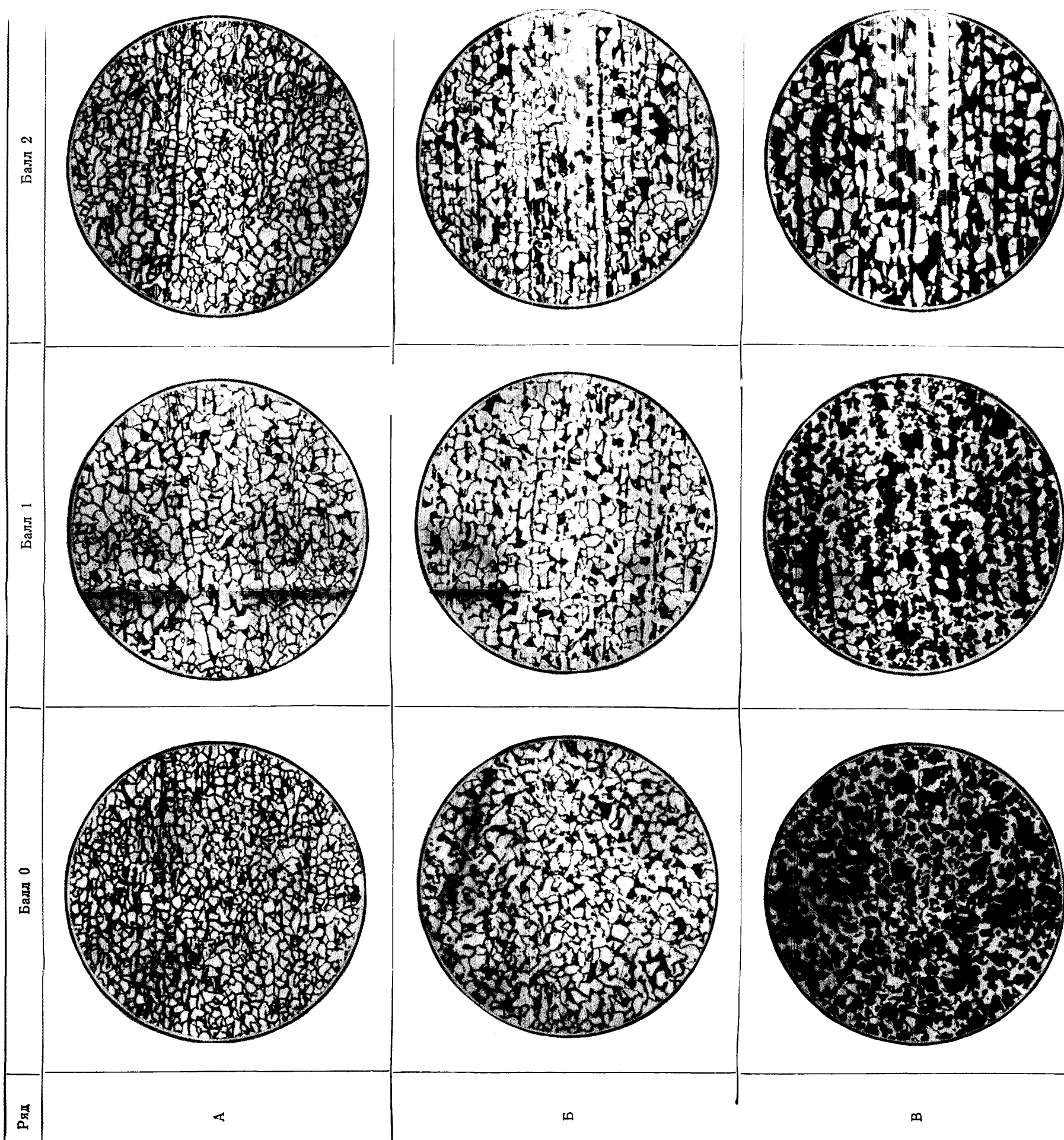


Балл 4

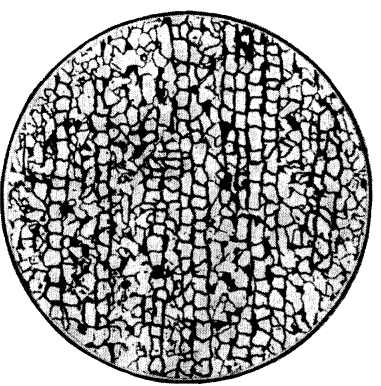
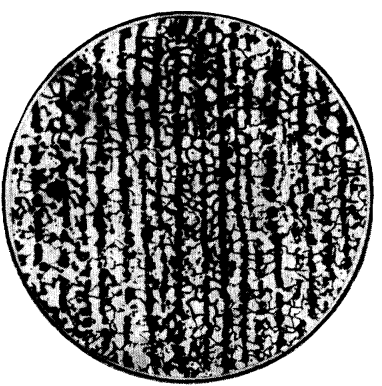
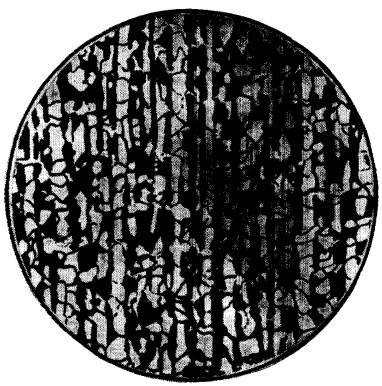


Балл 5

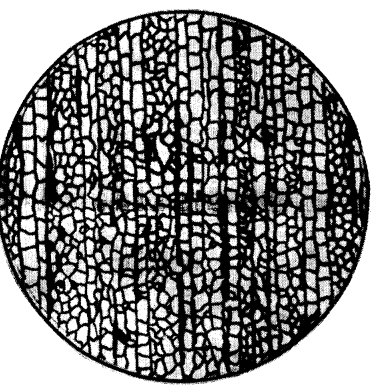
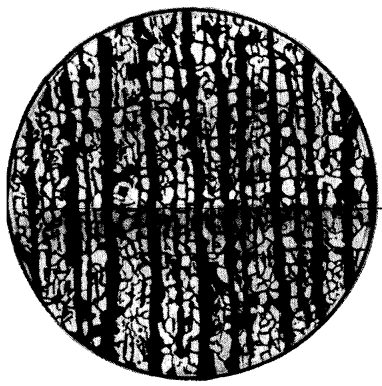




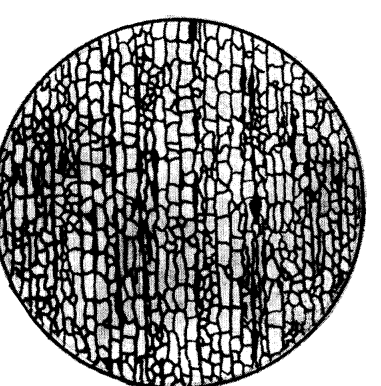
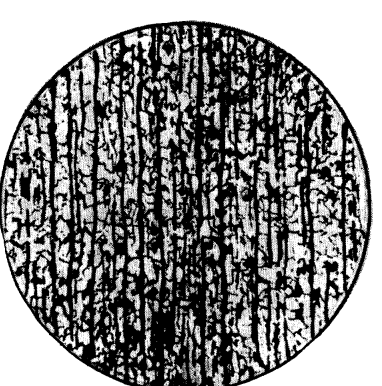
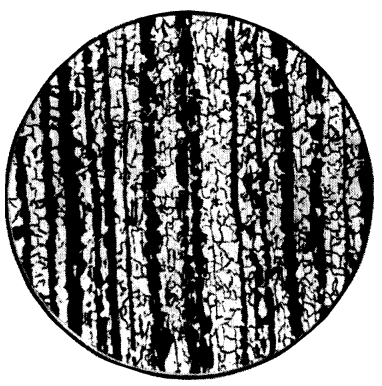
Балл 3



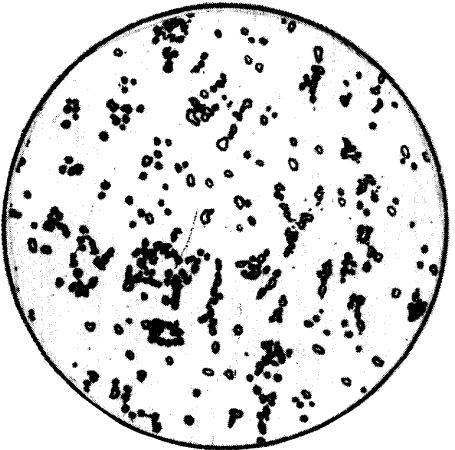
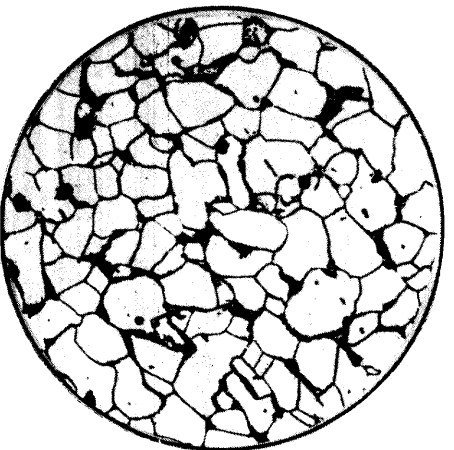
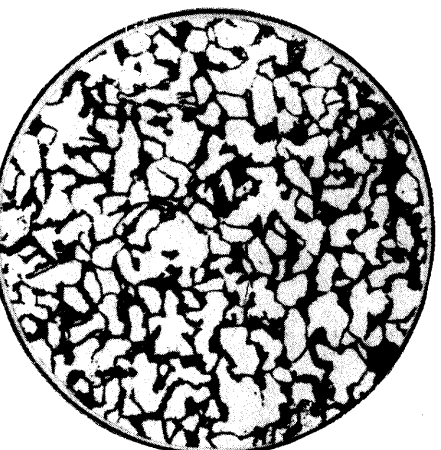
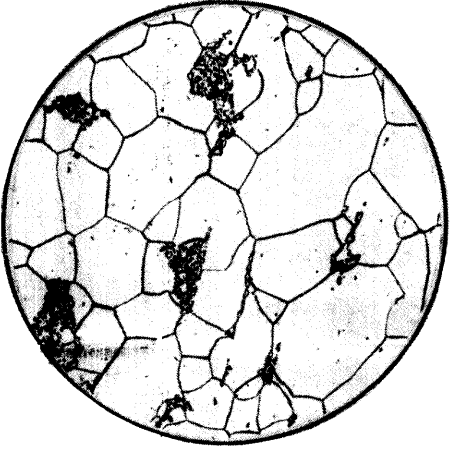
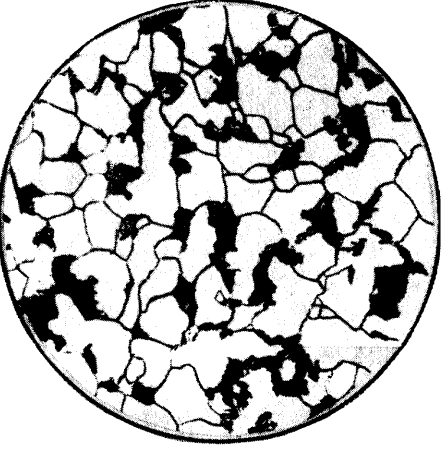
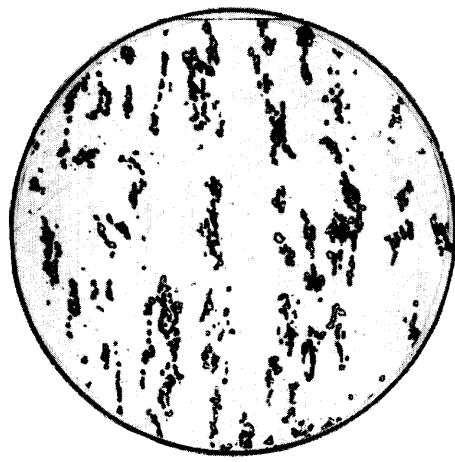
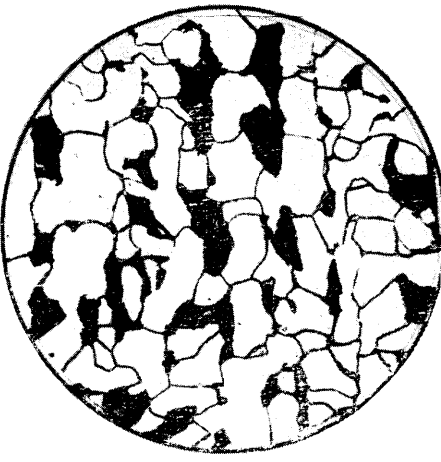
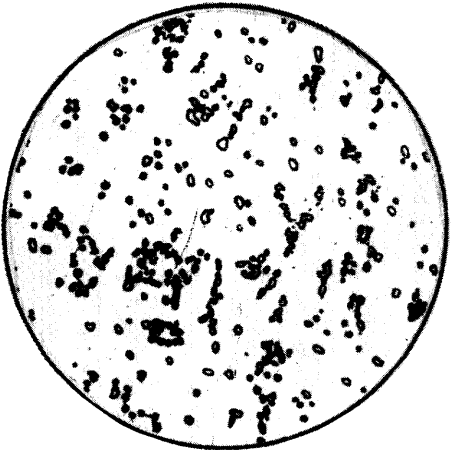
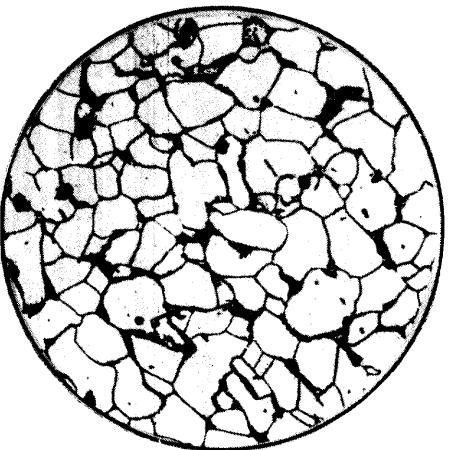
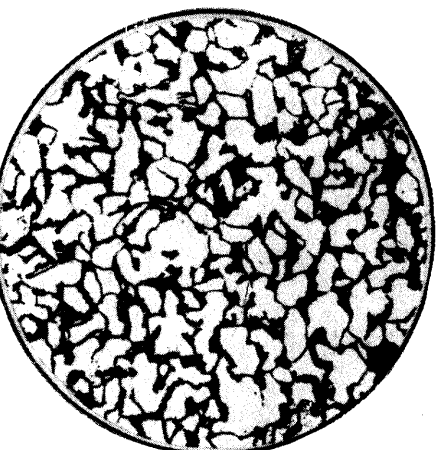
Балл 4

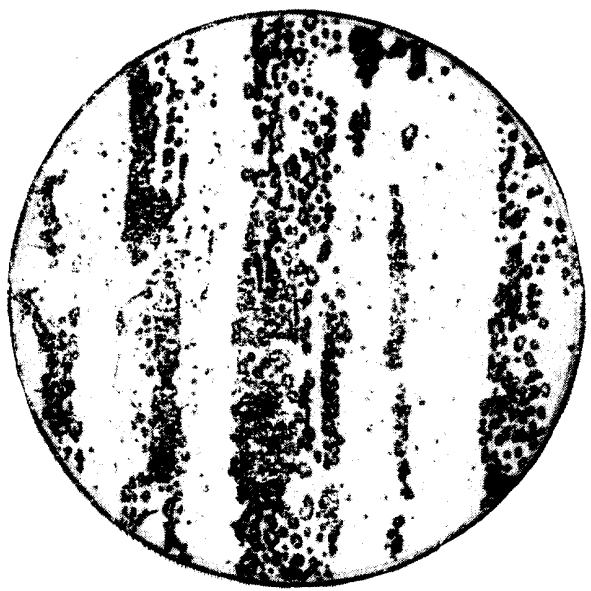
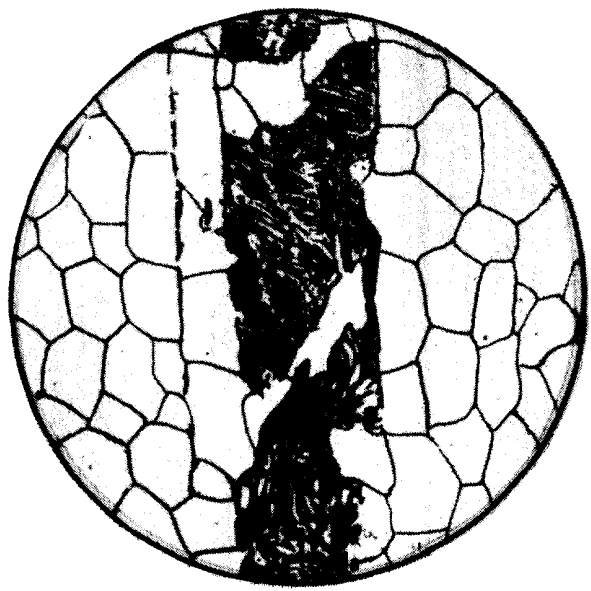
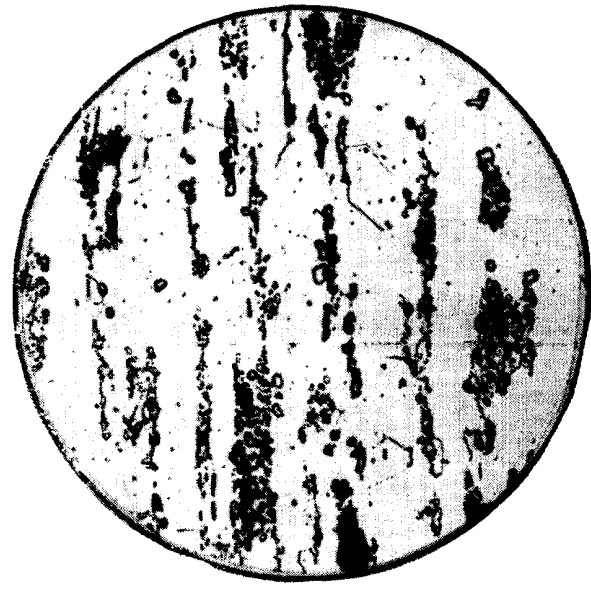
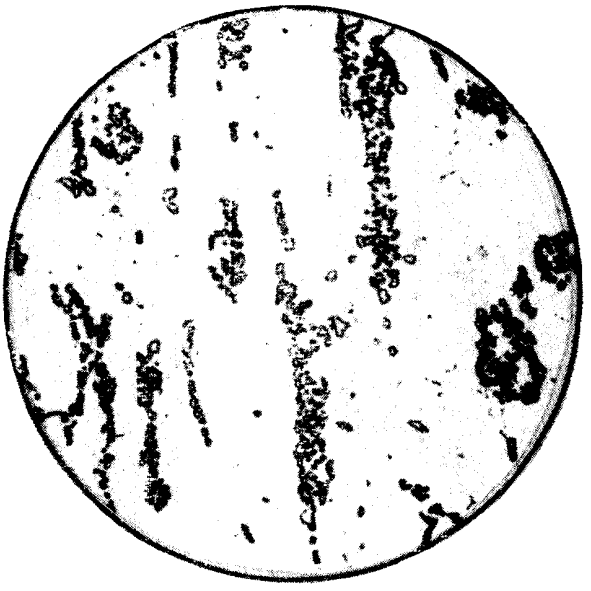
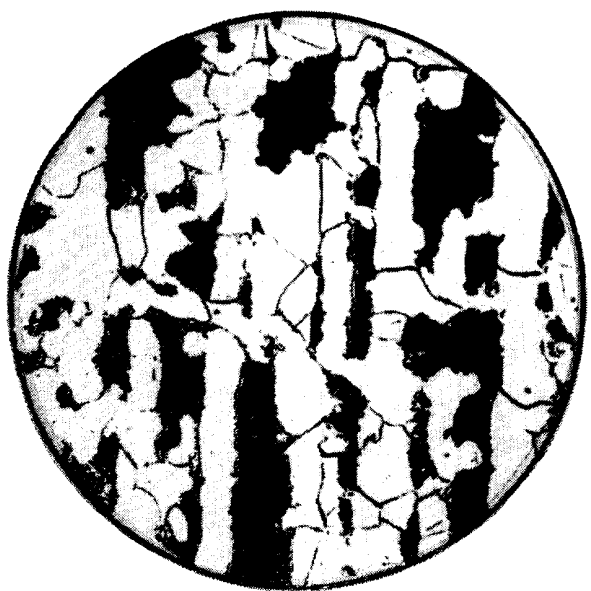


Балл 5



ШКАЛА 2. ПЕРЛИТ В МАЛОУГЛЕРОДИСТОЙ ДЕ

Ряд	Балл 0		Балл 1		Балл 2	
	Балл 0	Балл 1	Балл 1	Балл 2	Балл 2	
A						
B						



Балл 3

Балл 4

Балл 5

Величина	Единица			
	Наименование	Обозначение		
		международное	русское	
<b>ОСНОВНЫЕ ЕДИНИЦЫ СИ</b>				
Длина	метр	м	м	
Масса	килограмм	kg	кг	
Время	секунда	s	с	
Сила электрического тока	ампер	A	А	
Термодинамическая температура	кельвин	K	К	
Количество вещества	моль	mol	моль	
Сила света	кандала	cd	кд	
<b>ДОПОЛНИТЕЛЬНЫЕ ЕДИНИЦЫ СИ</b>				
Плоский угол	радиан	rad	рад	
Телесный угол	стерадиан	sr	ср	
<b>ПРОИЗВОДНЫЕ ЕДИНИЦЫ СИ, ИМЕЮЩИЕ СПЕЦИАЛЬНЫЕ НАИМЕНОВАНИЯ</b>				
Величина	Единица			
	Наименование	Обозначение		
		международное	русское	
Частота	герц	Hz	Гц	$\text{с}^{-1}$
Сила	ньютон	N	Н	$\text{м кг с}^{-2}$
Давление	паскаль	Pa	Па	$\text{м}^{-1} \text{ кг с}^{-2}$
Энергия	дюоуль	J	Дж	$\text{м}^2 \text{ кг с}^{-2}$
Мощность	вatt	W	Вт	$\text{м}^2 \text{ кг с}^{-3}$
Количество электричества	кулон	C	Кл	с А
Электрическое напряжение	вольт	V	В	$\text{м}^2 \text{ кт с}^{-1} \text{ А}^{-1}$
Электрическая емкость	фарад	F	Ф	$\text{м}^{-2} \text{ кт}^{-1} \text{ с}^4 \text{ А}^2$
Электрическое сопротивление	ом	$\Omega$	Ом	$\text{м}^2 \text{ кт с}^{-3} \text{ А}^{-2}$
Электрическая проводимость	сименс	S	См	$\text{м}^{-2} \text{ кт}^{-1} \text{ с}^3 \text{ А}^2$
Поток магнитной индукции	вебер	Wb	Вб	$\text{м}^2 \text{ кт с}^{-2} \text{ А}^{-1}$
Магнитная индукция	tesла	T	Тл	$\text{кт с}^{-2} \text{ А}^{-1}$
Индуктивность	генри	H	Гн	$\text{м}^2 \text{ кт с}^{-2} \text{ А}^{-2}$
Световой поток	люмен	lm	лм	кд ср
Освещенность	люкс	lx	лк	$\text{м}^{-2} \text{ кд ср}$
Активность радионуклида	беккерель	Bq	Бк	$\text{с}^{-1}$
Поглощенная доза ионизирующего излучения	грей	Gy	Гр	$\text{м}^2 \text{ с}^{-2}$
Эквивалентная доза излучения	зиверт	Sv	Зв	$\text{м}^2 \text{ с}^{-2}$